

1 Ergänzendes Material

Alle folgenden Abbildungen wurden selbst erstellt und dienen der besseren Verständlichkeit der Projektarbeit "Modellierung des Windeinflusses auf die Korngrößenverteilung bei Megarippeln".

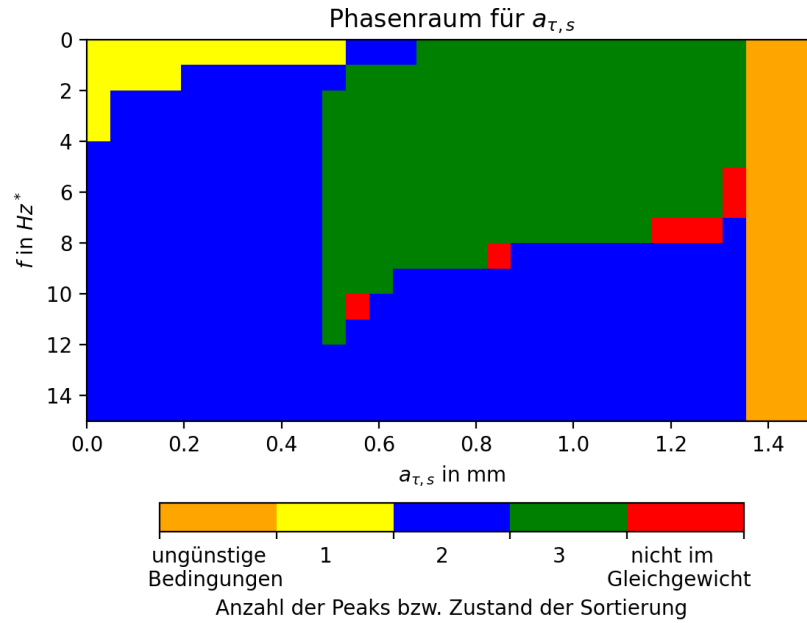


Abbildung 1: Konkreter Phasenraum von $a_{\tau,s}$ mit $DX = 0,5\text{mm}$; $EX = 1\text{mm}$; $a_{\tau,0} = 3\text{mm}$; $r = \frac{1}{s^2}$; $a_{max} = 6\text{mm}$

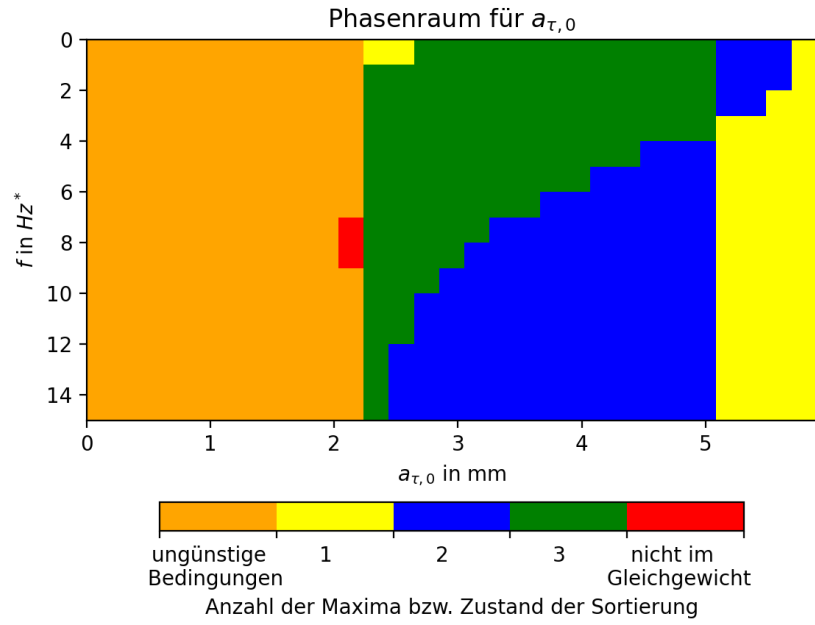


Abbildung 2: Konkreter Phasenraum von $a_{\tau,0}$ mit $DX = 0,5\text{mm}$; $EX = 1\text{mm}$; $a_{\tau,s} = 0,75\text{mm}$; $r = \frac{1}{s^2}$; $a_{max} = 6\text{mm}$

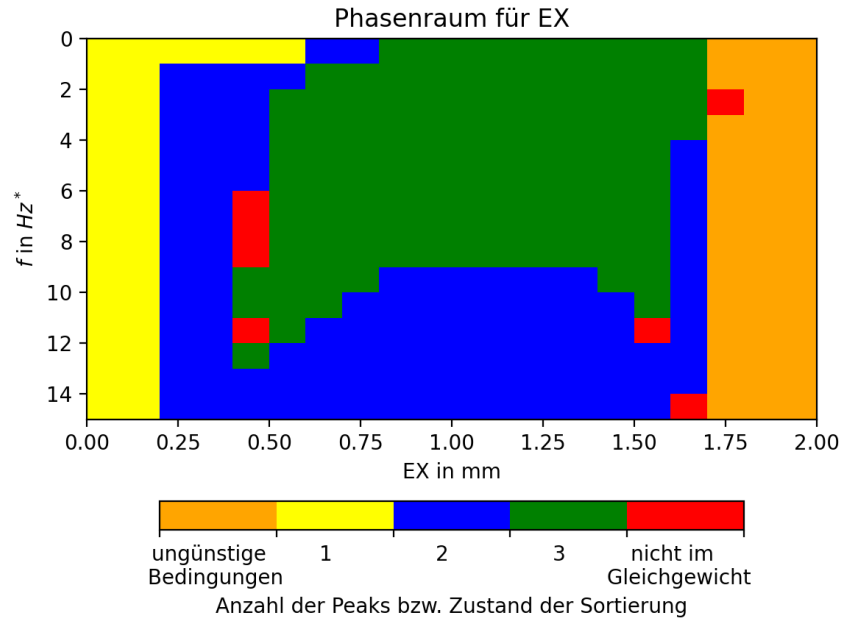


Abbildung 3: Konkreter Phasenraum von EX mit $DX = 0,5\text{mm}$; $a_{\tau,0} = 3\text{mm}$; $a_{\tau,s} = 0,75\text{mm}$; $r = \frac{1}{s^2}$; $a_{max} = 6\text{mm}$

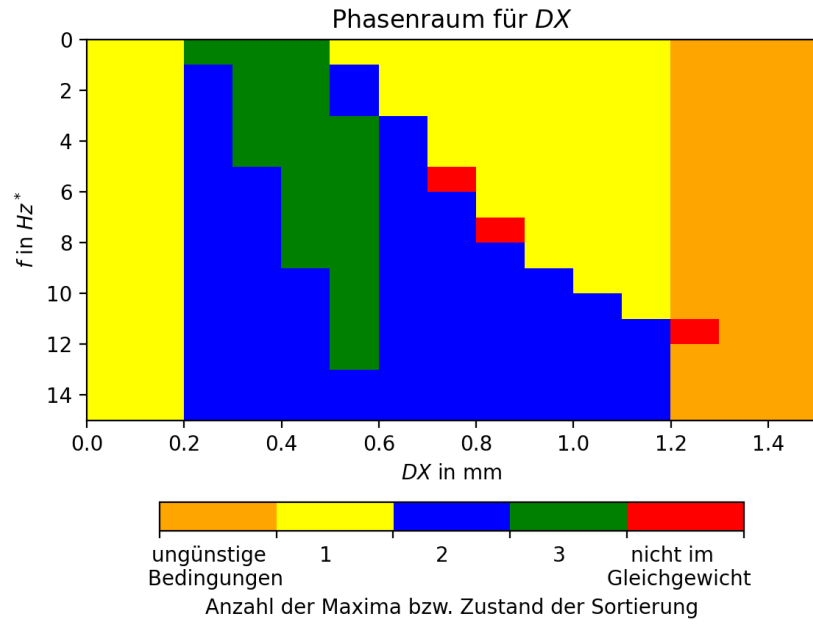


Abbildung 4: Konkreter Phasenraum von DX mit $EX = 1\text{mm}$; $a_{\tau,0} = 3\text{mm}$; $a_{\tau,s} = 0,75\text{mm}$; $r = \frac{1}{s^2}$; $a_{max} = 6\text{mm}$

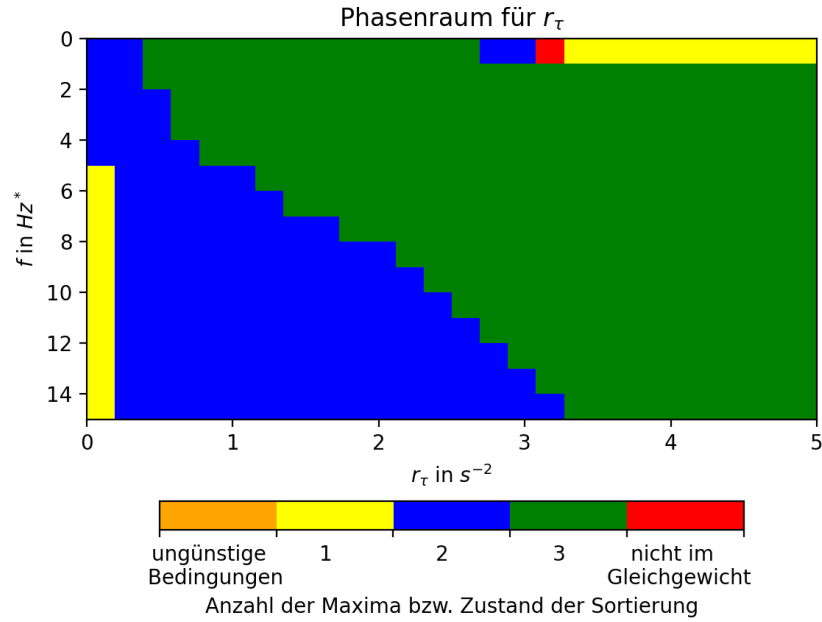


Abbildung 5: Konkreter Phasenraum von r mit $DX = 0,5\text{mm}$; $EX = 0,5\text{mm}$; $a_{\tau,0} = 3\text{mm}$; $a_{\tau,s} = 0,75\text{mm}$; $a_{max} = 6\text{mm}$

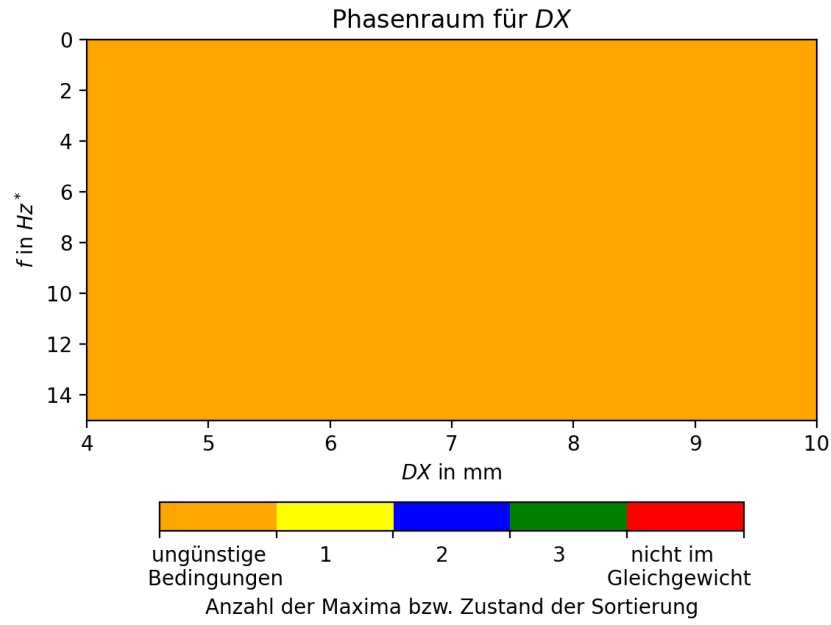


Abbildung 6: Konkreter Phasenraum von DX mit $EX = 0,25\text{mm}$; $a_{\tau,0} = 3\text{mm}$; $a_{\tau,s} = 0,75\text{mm}$; $r = \frac{1}{s^2}$; $a_{max} = 15\text{mm}$

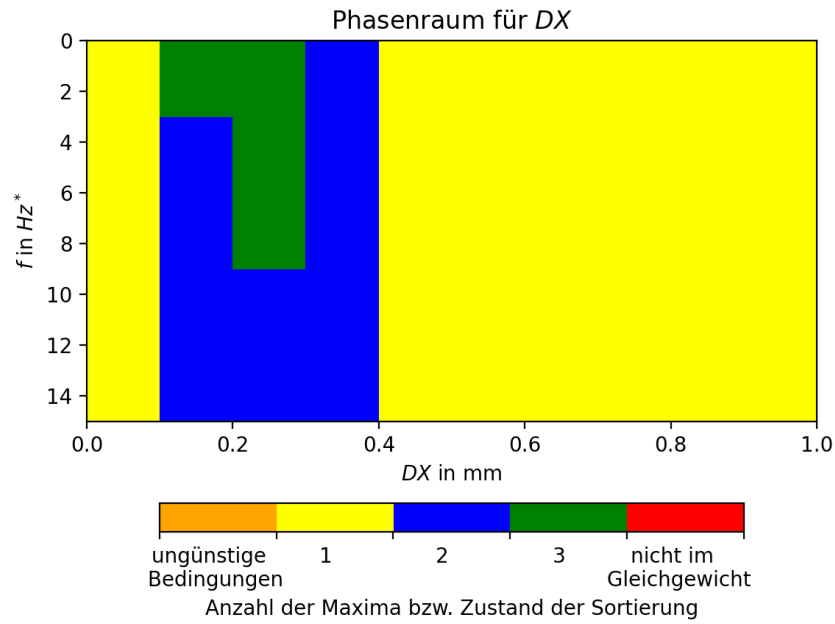


Abbildung 7: Konkreter Phasenraum von DX mit $EX = 0,25\text{mm}$; $a_{\tau,0} = 3\text{mm}$; $a_{\tau,s} = 0,75\text{mm}$; $r = \frac{1}{s^2}$; $a_{max} = 6\text{mm}$

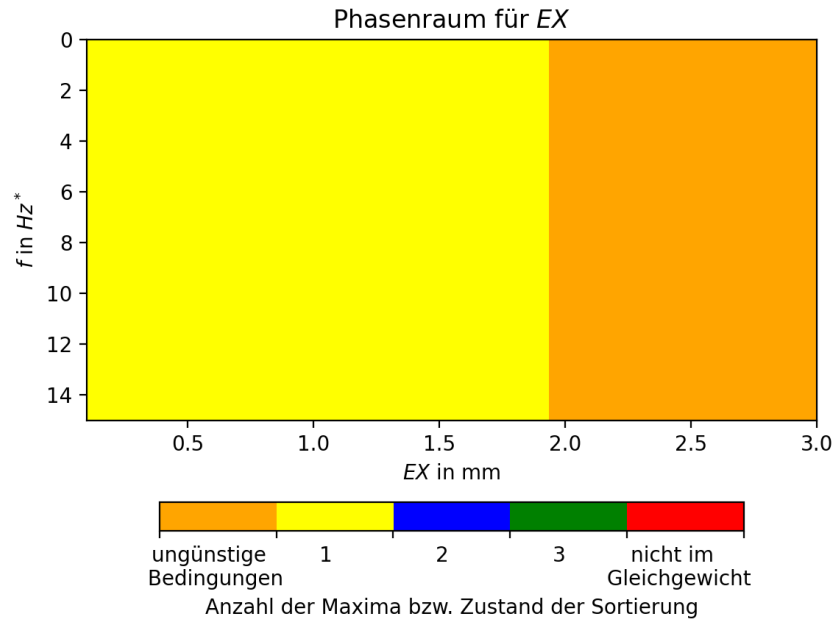


Abbildung 8: Konkreter Phasenraum von EX mit $DX = 0,1\text{mm}$; $a_{\tau,0} = 3\text{mm}$; $a_{\tau,s} = 0,75\text{mm}$; $r = \frac{1}{s^2}$; $a_{max} = 6\text{mm}$

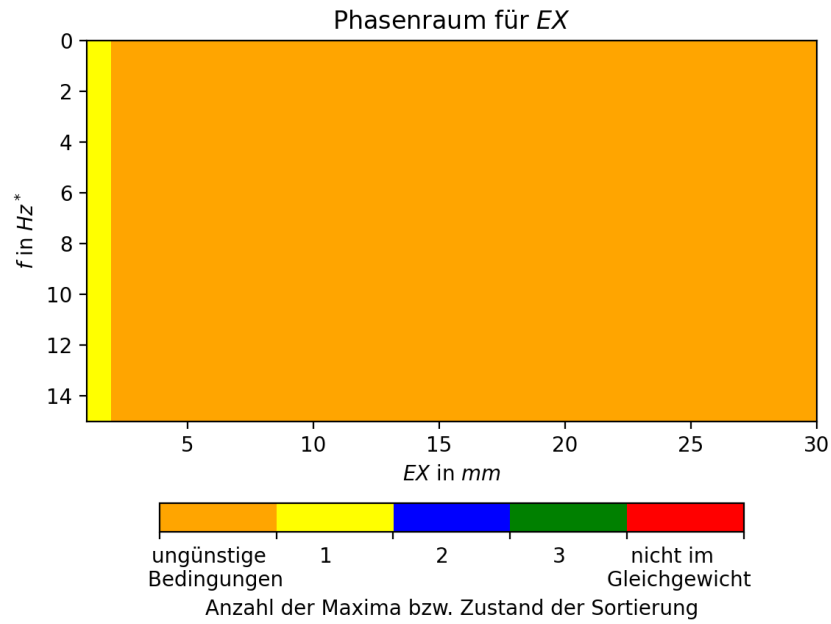


Abbildung 9: Konkreter Phasenraum von EX mit $DX = 0,1\text{mm}$; $a_{\tau,0} = 3\text{mm}$; $a_{\tau,s} = 0,75\text{mm}$; $r = \frac{1}{s^2}$; $a_{max} = 36\text{mm}$